

Escalonando *Workflows* com Redes Convolucionais de Grafos

Lucas Oliveira Macedo¹, Guilherme Piêgas Koslovski¹

¹Universidade do Estado de Santa Catarina (UDESC) – Joinville, SC – Brasil

Resumo. *Este trabalho propõe o uso de uma Residual Graph Convolutional Network (ResGCN) para selecionar dinamicamente uma política para escalonamento de workflows. O modelo avalia indicadores de makespan, footprint, slowdown e balanceamento de carga. A ResGCN obteve mais de 56,67% de acurácia, indicando um caminho promissor na identificação de gargalos e adaptação ao estado da infraestrutura.*

1. Introdução

Ambientes de computação de alto desempenho (HPC - *High Performance Computing*) são essenciais para a execução de aplicações científicas complexas em áreas como sismologia, astronomia e simulações climáticas. Frequentemente, essas aplicações são modeladas como *workflows* estruturados na forma de Grafos Acíclicos Direcionados (DAGs - *Directed Acyclic Graphs*). O escalonamento eficiente dessas tarefas nos recursos computacionais disponíveis é um problema clássico, classificado como NP-Difícil [Brucker 2007]. Para lidar com essa complexidade em tempo hábil, diversas heurísticas de escalonamento, como o HEFT (*Heterogeneous Earliest Finish Time*) [Topcuoglu et al. 2002] e o EFT (*Earliest Finish Time*) foram propostas. No entanto, essas estratégias tradicionais tendem a ser estáticas em relação a fatores dinâmicos como a degradação e o congestionamento da rede, o que pode comprometer o desempenho global.

Com o amadurecimento das técnicas de Aprendizado de Máquina, há a possibilidade de criar escalonadores adaptáveis. Neste cenário, as Redes Neurais em Grafos (GNNs - *Graph Neural Networks*) se destacam por conseguirem processar diretamente a estrutura topológica dos *workflows*, extraindo padrões complexos sobre o caminho crítico e os potenciais gargalos antes mesmo da execução [Scarselli et al. 2009]. Neste contexto, o presente trabalho propõe a utilização de uma rede neural profunda baseada em grafos, especificamente uma *Residual Graph Convolutional Network* (ResGCN), para atuar como um classificador que decide o algoritmo de escalonamento adequado para um dado cenário.

O restante deste artigo está organizado da seguinte forma: os trabalhos relacionados são discutidos na Seção 2. A Seção 3 detalha a metodologia proposta. A Seção 4 apresenta discute os resultados. A Seção 5 traz as considerações finais e perspectivas.

2. Trabalhos relacionados

A aplicação de *Machine Learning* (ML) para otimizar o escalonamento em HPC tem se mostrado promissora em comparação as heurísticas estáticas. Trabalhos recentes demonstraram a viabilidade do uso de ML clássico para prever a eficiência de ações de escalonamento [Kraus et al. 2024] e para compor ativamente políticas baseadas no estado do sistema [Diel et al. 2024]. Paralelamente, a necessidade de processar a topologia estrutural de *workflows* impulsionou a adoção de GNNs. O sistema *Decima* [Mao et al. 2019],

por exemplo, emprega GNNs utilizando *Reinforcement Learning* (RL) para otimizar o tempo de conclusão (*makespan*) de *jobs* em *clusters* de dados. Enquanto as abordagens baseadas em ML tradicional [Diel et al. 2024, Kraus et al. 2024] dependem da extração manual de *features* e soluções como o *Decima* focam no *makespan*, este artigo propõe uma interseção dessas áreas. Esta proposta reside no uso de uma *ResGCN* para a seleção dinâmica de políticas sob uma ótica multiobjetivo.

3. Método e materiais

Este artigo emprega uma rede convolucional de grafo como classificador binário com o objetivo de determinar a política adequada para um dado conjunto de tarefas.

3.1. Dados

Um *workflow* científico é uma representação gráfica de tarefas computacionais de múltiplas etapas [Deelman et al. 2019]. Neste estudo, esta representação descreve as dependências entre tarefas na forma de um DAG. No presente estudo, vale ressaltar a importância da heterogeneidade dos *workflows* para garantir a simulação de diferentes estados de rede. Alguns *workflows* têm alto grau de paralelismo, o que gera maior congestionamento de rede. Em contrapartida, outros *workflows* costumam ter cadeias sequenciais mais longas, favorecendo algoritmos que priorizam o caminho crítico. Outro fator importante é a quantidade de tarefas por *workflow*. A amostra final consiste em 300 *workflows*, variando entre 50 e 200 tarefas cada, baseados no projeto Pegasus [Deelman et al. 2019].

3.2. Algoritmos tutores

Para este estudo foram selecionados três algoritmos de escalonamento: (i) HEFT, que se destaca na minimização do *makespan* de um *workflow*; (ii) EFT, um algoritmo simples com uma abordagem gulosa; (iii) *Round-Robin*, um algoritmo que escala tarefas em máquinas de forma circular. Cada *workflow* é processado pelos três escalonadores. Ao final, é gerada uma lista de informações que contêm os seguintes dados: (i) o *makespan* do *workflow*; (ii) *bounded slowdown*; (iii) *footprint*, que é o custo total de transferência de dados de uma tarefa; (iv) o balanceamento de carga, que é a distribuição das tarefas entre as máquinas.

3.3. Seleção do modelo de GNN

Modelos rasos de GNN, como a *Graph Convolutional Network* (GCN), sofrem com o problema do gradiente evanescente e do *oversmoothing*, quando a profundidade da rede é extensa. Para mitigar esses efeitos, o modelo *ResGCN* [Li et al. 2019] foi proposto. Sua arquitetura incorpora: (i) conexões residuais, evitando a degradação do sinal; (ii) *batch normalization*, que re-centraliza a distribuição dos dados a cada camada, prevenindo a saturação; e (iii) ativação ReLU.

3.4. Ambiente de simulação e topologia de rede

Para avaliar as políticas de escalonamento, foi desenvolvido um simulador em *Python* que implementa a topologia de rede *Dragonfly* [Kim et al. 2008] e a degradação de largura de banda. Uma característica importante da topologia é que a comunicação intra-grupo apresenta baixa latência e alta largura de banda. Por outro lado, a comunicação inter-grupos

utiliza conexões que podem sofrer rapidamente com gargalos quando a rede está congestionada. Como ResGCN recebe como entrada o fator de degradação da rede e o tamanho estimado das comunicações, ele se torna capaz de inferir quando as transferências globais de dados serão muito custosas.

3.5. Detalhes de implementação

Para cada *workflow* i , calculou-se uma pontuação $S_{i,j}$ para cada escalonador $j \in \{HEFT, EFT, RR\}$ baseada em uma soma ponderada de métricas normalizadas: $S_{i,j} = \alpha \cdot \hat{M}_{ij} + \beta \cdot \hat{F}_{ij} + \gamma \cdot \hat{S}_{ij} + \delta \cdot \hat{L}_{ij}$, sendo que \hat{M} , \hat{F} , \hat{S} e \hat{L} representam, respectivamente, os valores normalizados (escala 0-1) de *makespan*, *footprint*, *bounded slowdown* e desvio padrão de carga. Para diminuir o desbalanceamento de classes adotou-se a seguinte configuração de pesos: ($\alpha = 0.1, \beta = 0.4, \gamma = 0.3, \delta = 0.2$). Esta configuração penaliza o uso excessivo da rede. O algoritmo *Round-Robin* não obteve desempenho superior em nenhum cenário, reduzindo o problema a uma classificação binária.

4. Resultados e discussões

Os experimentos foram conduzidos utilizando a arquitetura ResGCN proposta, treinada ao longo de 1.000 épocas com um *dataset* balanceado contendo 300 *workflows*. A validação cruzada foi realizada com uma divisão de 80% para treino e 20% para teste.

A Figura 1(a) ilustra a evolução da função de perda durante o treinamento. Observa-se que o modelo apresentou uma queda consistente e gradual do erro, estabilizando-se em torno de 0,66. Paralelamente, a Figura 1(b) demonstra a evolução da acurácia de validação. O modelo superou consistentemente a barreira dos 50% (acerto aleatório), atingindo picos de validação de 56,67%.

Para avaliar a capacidade de decisão do modelo, analisou-se a matriz de confusão no conjunto de teste, conforme apresentado na Figura 1(c). A matriz revela que a ResGCN não apresenta viés significativo para uma única classe.

Para avaliar a robustez da *ResGCN*, o desempenho do modelo preditivo (56,67% de acurácia) foi comparado com três linhas de base (*baselines*). A primeira, uma escolha aleatória, que atinge cerca de 50,33% de acurácia. As outras duas consistem em: uma abordagem 'Sempre HEFT', que obteve 56% de acerto; uma política 'Sempre EFT', que atingiu 44,4% de acerto. Embora o HEFT estático apresente uma taxa de sucesso razoável, ele o faz de forma inflexível. A GNN supera essa *baseline* ao atuar de forma preditiva e adaptável, prevendo o escalonador antes da execução. Isso evita os cenários de pior caso das heurísticas estáticas e contorna o *overhead* computacional que as tradicionais estratégias de escalonamento dinâmico costumam inserir no sistema.

5. Conclusão

Os resultados indicam que a utilização de Redes Neurais em Grafos é uma abordagem viável para o problema de seleção dinâmica de escalonadores. O modelo foi capaz de correlacionar a degradação da rede com a estrutura do grafo, superando métodos de escolha estática. Trabalhos futuros incluem a expansão do *dataset*, a implementação de múltiplos algoritmos tutores e a aplicação do modelo em ambientes reais de grade computacional.

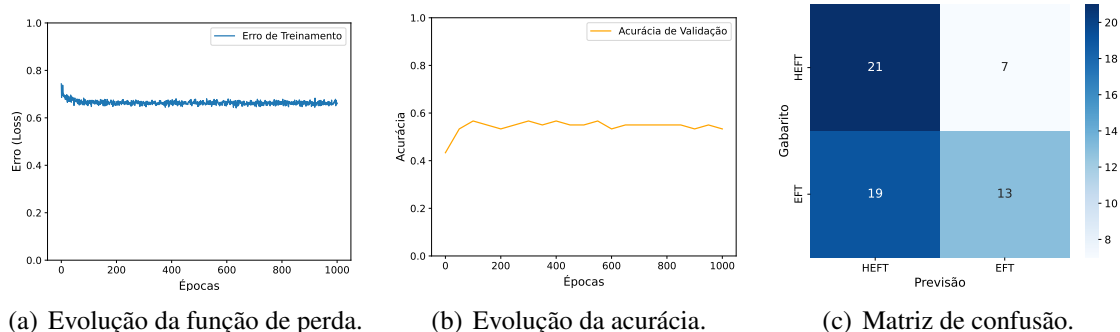


Figura 1. Resultados preliminares da avaliação do modelo ResGCN.

Agradecimentos: Este trabalho recebeu apoio do Conselho Nacional de Desenvolvimento Científico e Tecnológico (CNPq), da Fundação de Amparo à Pesquisa e Inovação (FAPESC), desenvolvido no LabP2D.

Referências

- Brucker, P. (2007). *Scheduling Algorithms*. Springer Berlin Heidelberg, Berlin, Heidelberg, 5th edition.
- Deelman, E., Vahi, K., Juve, G., Rynge, M., Callaghan, S., Maechling, P. J., et al. (2019). The evolution of the Pegasus workflow management software. *Computing in Science & Engineering*, 21(4):22–36.
- Diel, G., Kraus, A. E. N., and Koslovski, G. P. (2024). Usando aprendizado supervisionado para composição de políticas de escalonamento. In *Anais da XXIV Escola Regional de Alto Desempenho da Região Sul (ERAD-RS)*, pages 25–28. SBC.
- Kim, J., Dally, W. J., Scott, S., and Abts, D. (2008). Technology-driven, highly-scalable dragonfly topology. In *2008 International Symposium on Computer Architecture*, pages 77–88. IEEE.
- Kraus, A. E. N., Diel, G., and Koslovski, G. P. (2024). Predicting the efficiency of job scheduler actions. In *Anais da XXIV Escola Regional de Alto Desempenho da Região Sul (ERAD-RS)*, pages 33–36. SBC.
- Li, G., Muller, M., Thabet, A., and Ghanem, B. (2019). DeepGCNs: Can GCNs go as deep as CNNs? In *Proceedings of the IEEE/CVF International Conference on Computer Vision (ICCV)*, pages 9267–9276.
- Mao, H., Schwarzkopf, M., Venkatakrisnan, S. B., Meng, Z., and Alizadeh, M. (2019). Learning scheduling algorithms for data processing clusters. In *Proceedings of the ACM Special Interest Group on Data Communication (SIGCOMM)*, pages 270–288.
- Scarselli, F., Gori, M., Tsoi, A. C., Hagenbuchner, M., and Monfardini, G. (2009). The graph neural network model. *IEEE Transactions on Neural Networks*, 20(1):61–80.
- Topcuoglu, H., Hariri, S., and Wu, M.-Y. (2002). Performance-effective and low-complexity task scheduling for heterogeneous computing. *IEEE Transactions on parallel and distributed systems*, 13(3):260–274.